

Список литературы

- [1] Garmire E., McMahon T., Bass M. // IEEE Quant. Electron. 1980. V. 16. P. 23.
- [2] Miyagi M. // Appl. Opt. 1981. V. 20. P. 1221.
- [3] Азизбекян С.В., Артюшенко В.Г., Дианов Е.М., Калайджян К.И., Миракян М.М. // Письма в ЖТФ. 1989. Т. 15. С. 4.
- [4] Азизбекян С.В., Артюшенко В.Г., Дианов Е.М., Калайджян К.И., Миракян М.М. // ЖТФ. 1989. Т. 59. С. 6.
- [5] Artjushenko V.G., Dianov E.M., Kopov V.I., Mirakyan M.M., Nikiforov S.M., Prokhorov A.M., Silenok A.S., Shcherbakov I.A. // Proc. SPIE. 1989. 1067. 39.

Институт общей физики
АН СССР, Москва

Поступило в Редакцию
24 марта 1989 г.

Письма в ЖТФ, том 15, вып. 15

12 августа 1989 г.

05.4; 06.2

ОСОБЕННОСТИ СТРУКТУРЫ МЕТАЛЛ-ПОЛУПРОВОДНИК-СВЕРХПРОВОДНИК-ПОЛУПРОВОДНИК-МЕТАЛЛ

С.В. Коzyрев, В.Ф. Мастеров,
А.В. Приходько, А.В. Федоров,
Р.А. Хопаев, Д.В. Клячко,
В.В. Угаров

С точки зрения перспективы создания новой элементной базы электроники особый интерес представляет изучение свойств структур типа металл-полупроводник-ВТСП. В настоящей работе приводятся первые результаты исследования температурной зависимости сопротивления и влияния магнитного поля на ВАХ структуры вольфрам-сelen-ВТСП ($YBa_2Cu_3O_{7-x}$) селен-вольфрам.

Структура приготавлялась путем плавления смеси селена и порошка ВТСП-керамики на двух скрещенных вольфрамовых проволоках \varnothing 50 мкм. Под действием капиллярных сил расплав втягивался между вольфрамовыми проволоками. Более детально способ приготовления описан в [1], где на структуре вольфрам-сelen-вольфрам изучался эффект переключения. Объем бусинок смеси составлял приблизительно 1 мм^3 . Приведенные ниже экспериментальные данные получены на образцах с соотношением селен / ВТСП - 2: 1 по весу.

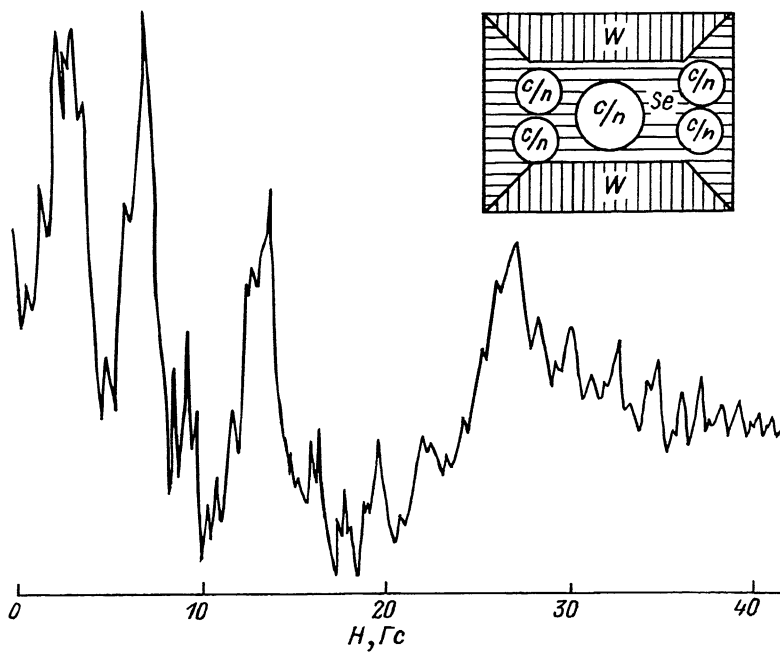


Рис. 1. Электромагнитный эффект. На врезке – схематическое изображение исследованной структуры.

Для определения сверхпроводящих свойств структуры исследовалось поглощение СВЧ – мощности (9 ГГц) в слабых магнитных полях – электромагнитный эффект. Полученные при этом результаты (рис. 1) подтверждают наличие сверхпроводимости в отдельных зернах ВТСП. Наблюдаемая при этом зависимость интенсивности эффекта от внешнего магнитного поля характерна для монокристаллических образцов ВТСП (см., напр., [2]). Поэтому можно предположить, что в рассматриваемой структуре сверхпроводящий материал распределен в виде отдельных кристаллитов, отделенных друг от друга слоями селена, т.е. имеет место структура, схематически изображенная на врезке рис. 1. Это полностью подтверждается непосредственным построением карты распределения элементов по поверхности с помощью рентгеновского микроанализа, проведенного на энергодисперсионном спектрометре AN 10000 (*Link-Systems*) и растровом электронном микроскопе YSM-840A. При этом определялось как пространственное распределение элементов (*Se* и *Y*, *Ba*, *Cu*) на шлифованной поверхности образца, так и распределение гранул ВТСП по размерам. По этим данным наибольшее число гранул имеет размер 1–3 мкм.

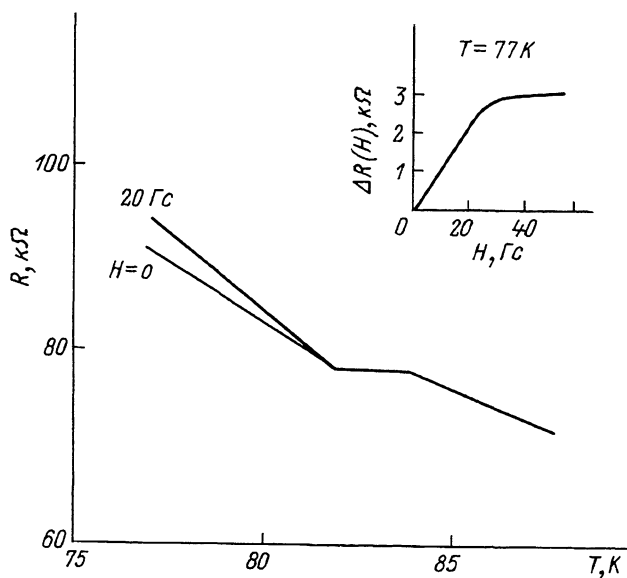


Рис. 2. Температурная зависимость сопротивления структуры. На врезке – зависимость сопротивления структуры от магнитного поля при $T = 77$ К.

Результаты измерения температурных зависимостей сопротивления структуры как в магнитном поле, так и без него представлены на рис. 2. Для исследованных ранее структур вольфрам–сelen–вольфрам было характерно монотонное возрастание сопротивления при понижении температуры и отсутствие влияния магнитного поля (масштаба порядка десятков гаусс). Для смеси селен–ВТСП при понижении температуры в области вблизи T_c наблюдается плато на зависимости $R(T)$, а далее появляется чувствительность к слабому магнитному полю (см. врезку на рис. 2).

Очевидно, что сопротивление структуры определяется сопротивлением полупроводника как выше, так и ниже T_c . Поэтому объяснить наблюдаемую зависимость $R(T)$ и влияние на нее слабого магнитного поля можно только наличием в образце барьера типа $S-p-n$ или $S-p/p-S$. Как нам представляется, рост сопротивления при понижении температуры за T_c обусловлен уменьшением длины когерентности в полупроводниковых прослойках из-за падения величины концентрации или коэффициента диффузии в них [3].

Для более детального понимания свойств указанных структур необходимы дальнейшие исследования, в частности изучение влияния подсветки с энергией кванта, соответствующей внутреннему фотоэффекту в селене.

Список литературы

- [1] Приходько А.В., Чеснис А.А. Запоминающий элемент. А.с. № 637865 . Опубл. Б.И. 1978. № 6.
- [2] Богачев С.В., Емельченко Г.А., Ильин В.А. и др. // Письма в ЖЭТФ. 1988. Т. 47. В. 3. С. 166-168.
- [3] Асламазов Л.Г., Фистуль М.В. // ЖЭТФ. 1981. № 8. С. 382-387.
- [4] Приходько А.В., Дексинис А.П., Чеснис А.А. // ФТП. 1979. Т. 13. В. 1. С. 193-195.

Физико-технический
институт им. А.Ф. Иоффе
АН СССР, Ленинград

Поступило в Редакцию
11 апреля 1989 г.

Письма в ЖТФ, том 15, вып. 15

12 августа 1989 г.

07

КАТОДОЛЮМИНЕСЦЕНЦИЯ SiC - $6H$, ЛЕГИРОВАННОГО Ga , ПРИ ВЫСОКИХ УРОВНЯХ ВОЗБУЖДЕНИЯ

Ю.А. Водаков, Е.Н. Мохов,
В.И. Соколов, В.С. Вавилов,
А.И. Иванов, М.В. Чукичев

Ga в $6H-SiC$ является акцепторной примесью и активатором эффективной люминесценции в голубой области спектра [1-4]. Поэтому введение Ga в SiC представляет интерес в связи с изготавлением голубых светоизлучательных диодов [4, 5].

К сожалению, данные по фотолюминесценции (ФЛ) $SiC\langle Ga \rangle$ были ограничены сравнительно низкими уровнями возбуждения ФЛ 10^{19} - $10^{20} \text{ см}^{-3} \text{ с}^{-1}$, что более чем в 10^3 раз ниже, чем в случае электролюминесценции (ЭЛ). В результате затруднялось сравнение особенностей ЭЛ и ФЛ, необходимое для понимания механизма излучательной рекомбинации и оптимизации параметров светодиодных структур [4].

Отсутствовали также надежные количественные сведения о влиянии концентрации примесей и собственных дефектов на спектральные характеристики люминесценции в $SiC\langle Ga \rangle$.

В настоящей работе исследовалась катодолюминесценция (КЛ) $6H-SiC$, легированного Ga и N , введенных в процессе выращивания эпитаксиальных слоев (ЭС) из паровой фазы. Рост ЭС проводился сублимационным „сэндвич-методом“ [6] при температуре 2100 - 2300 °С в среде Ar . Изучаемые образцы были п- и р-ти-